

فاز دایمر در زنجیره وامانده اسپین-۱/۲

طیبه ندایی*، سعید مهدوی‌فر

گروه فیزیک، دانشکده علوم، دانشگاه گیلان، رشت، ایران

چکیده

در این مقاله زنجیره هایزنبرگ همسانگرد پادفرومغناطیس اسپین-۱/۲ وامانده دایمر، مورد مطالعه قرار گرفته است. در این مدل δ پارامتر دایمر برای تبادل نزدیکترین همسایه‌ها و α پارامتر واماندهی برای تبادل دومین نزدیکترین همسایه‌هاست. ما نمودار فاز حالت پایه سیستم هایزنبرگ اسپین-۱/۲ پادفرومغناطیس وامانده دایمر را در دو زیرفضای $S_z^{tot} = 0$ و $S_z^{tot} = 1$ مورد بررسی قرار دادیم. در این مطالعات از روش لنگشوز برای قطری سازی عددی زنجیره محدود استفاده کردیم و با استفاده از نتایج قطری سازی، توابع پاسخ سیستم را برحسب تابعی از پارامتر واماندهی محاسبه کردیم. براساس نتایج قطری سازی دقیق، همچنین با محاسبه پارامترهای نظم برای سیستم مورد نظر مشخص شد که اثر دایمرشدگی در مدل زنجیره وامانده اسپین-۱/۲ منجر به یک گذار فاز مرتبه دوم بین دو نوع فاز دایمر، در نقطه واماندهی بحرانی α_c می‌شود.

کلیدواژگان: زنجیره هایزنبرگ، واماندهی، دایمرشدگی

مقدمه

در این راستا، در مقاله پیش رو زنجیره هایزنبرگ پادفرومغناطیس همسانگرد اسپین-۱/۲ وامانده دایمر با برهمکنش نزدیکترین همسایه‌ها و برهمکنش دومین نزدیکترین همسایه‌ها مورد بررسی و مطالعه قرار گرفته است. هامیلتونی زنجیره مورد نظر با رابطه زیر تعریف می‌شود:

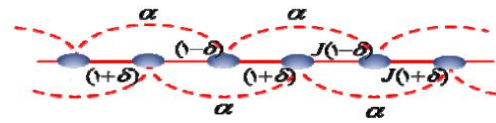
$$H = \sum_i \{ [1 - (-1)^i \delta] S_i \cdot S_{i+1} + \alpha S_i \cdot S_{i+2} \}, \quad (1)$$

در این رابطه ما شرط مرزی دوره‌ای $S_N = S_{N+1}$ را در نظر گرفته‌ایم و N تعداد اسپین‌ها است. δ و α به ترتیب پارامتر واماندهی و پارامتر دایمرشدگی هستند و S_i معرف عملگر اسپین-۱/۲ روی سایت i ام شبکه است. در شکل ۱ یک طرح نمادین از زنجیره اسپینی وامانده دایمر نمایش داده شده است.

در دهه‌های اخیر موضوع مدل‌های اسپینی کم-بُعد در فیزیک ماده چگال از اهمیت ویژه‌ای برخوردار شده است. بخشی از این اهمیت به دلیل مشاهده اثرات کوانتومی محض در این سیستم‌ها می‌باشد. در کنار جنبه‌های جذاب نظری، اندازه‌گیری‌های تجربی هم برای تعدادی از مواد شبه یک بُعدی انجام شده است. یکی از این سیستم‌ها زنجیره هایزنبرگ همسانگرد پادفرومغناطیس اسپین-۱/۲ وامانده دایمر است که اخیراً مطالعات زیادی روی آن انجام شده [۶-۱] و برای مطالعات تجربی روی مواد اسپین-پایرلس CuGeO_3 و NaV_2O_6 [۷-۱۰] و ترکیب‌های نردبان اسپینی مانند $\text{Sr}_2\text{Cu}_3\text{O}_5$ یا $(\text{VO})_2\text{P}_2\text{O}_7$ [۱۱-۱۴] مورد توجه قرار گرفته است.

* ایمیل نویسنده مسئول: nedaeitayeb@yaho.com

($\alpha_c = 0.2411$) است یعنی جایی که گذار از فاز سیال اسپینی لاتینجر به فاز دایمر اتفاق می‌افتد. اما با این وجود هنوز فقدان اطلاع دقیق از اثر پارامتر وامانده روی حالت پایه زنجیره دایمر شده فوق وجود دارد.



شکل ۱. طرح نمادین از زنجیره اسپینی وامانده دایمر.

در این مقاله با استفاده از روش قطری سازی دقیق (لنکشوز)، رفتار فیزیکی دمای صفر سیستم فوق مورد تحلیل قرار گرفته است. نتایج محاسبات عددی لنکشوز روی گاف سه‌گانه و پارامتر دایمر شدگی برحسب میزان واماندهی ارائه شده است. در نهایت از تحلیل داده‌های عددی، وجود دو نوع فاز دایمر متفاوت که با روابط ۴ و ۵ معرفی می‌شوند در نمودار فاز حالت پایه زنجیره فوق تشخیص داده شده است.

بررسی نمودار فاز حالت پایه

ما با استفاده از روش لنکشوز گاف انرژی گاف زنجیره هایزنبرگ همسانگرد پادرومغناطیس اسپین-۱/۲ وامانده دایمر را در زیرفضاهای $S_z^{tot} = 0$ و $S_z^{tot} = 1$ برحسب تغییرات واماندهی و به‌ازای دایمرشدگی ($0 \leq \delta \leq 1$) محاسبه کرده‌ایم. گاف انرژی به‌صورت اختلاف بین انرژی حالت پایه و اولین حالت برانگیخته در هر زیرفضا تعریف شده است. در شکل ۲ نتیجه محاسبات فوق برای زنجیره‌هایی به‌طول $N = 12, 16, 20, 24$ و دایمر شدگی $\delta = 0.5$ و $\delta = 0.7$ در زیرفضای $S_z^{tot} = 1$ ارائه شده است.

تا کنون سیستم فوق با استفاده از روش‌های تحلیلی و عددی مورد بررسی تقریبی قرار گرفته است. به‌عنوان مثال روش بوزونیزه کردن برای تحلیل این سیستم مفید است [۱۵]. اما جزئیات حالت پایه تنها با استفاده از روش‌های عددی به‌دست می‌آید. روش‌های عددی این امکان را به ما می‌دهند که مقدار واماندهی بحرانی، همچنین جزئیات حالت پایه سیستم و نیز رفتار گاف برانگیخته را تعیین کنیم [۱۶]. در غیاب دایمرشدگی ($\delta = 0$) مطالعات بسیاری انجام شده است [۲۵-۱۷]. مشخص شده که با افزایش قدرت‌واماندهی، یک گذار فاز از فاز سیال لاتینجر بدون گاف دایمر ($\alpha < \alpha_c \cong 0.2411$) به فاز دارای گاف دایمر ($\alpha > \alpha_c$) روی می‌دهد [۱۹]. همچنین در نقطه ماجومدار-گوش^۱ ($\alpha_{MG} = 0.5$)، حالت پایه این سیستم به‌طور دقیق مشخص است [۲۹-۲۶]. در غیاب واماندهی ($\alpha = 0$) و دایمرشدگی ($\delta = 0$)، حالت پایه دارای فاز سیال لاتینجر است. اخیراً در مرجع [۱۹] نسبت گاف سه‌گانه به گاف یک‌گانه برای زنجیره وامانده دایمر شده هایزنبرگ پادرومغناطیس اسپین-۱/۲ با استفاده از روش‌های عددی محاسبه شده است. مقدار این نسبت قبلاً به‌صورت تحلیلی توسط روش بوزونیزه کردن ($r = \sqrt{3}$) تخمین زده شده است [۳۰]. نتایج محاسبات عددی نشان می‌دهند که در غیاب واماندهی، ($r > 2$) است و با افزایش واماندهی مقدار آن کاهش یافته و در ($\alpha = 0.25$) به مقدار ($r = \sqrt{3}$) می‌رسد. این نقطه خیلی نزدیک به

^۱Majumdar-ghosh point

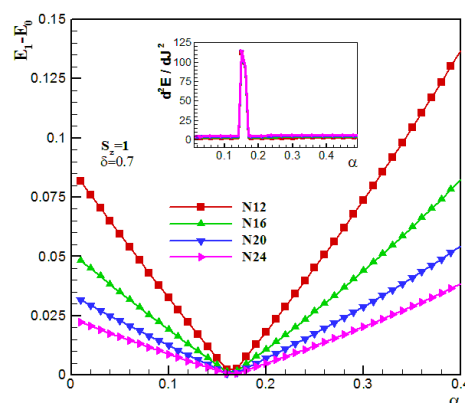
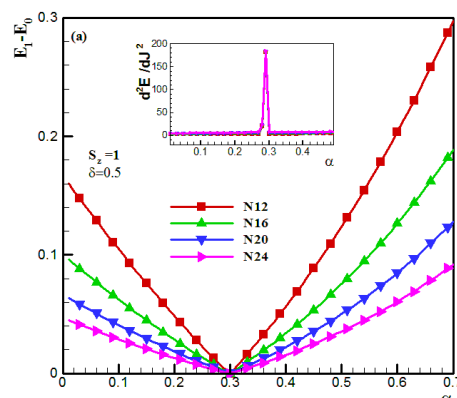
صفر می‌شود. همچنین به وضوح مشخص است که واماندهی بحرانی مستقل از اندازه سیستم است. با افزایش بیشتر واماندگی ($\alpha > \alpha_c$)، گاف سه‌گانه مجدداً باز شده و افزایش می‌یابد. همان‌طور که در هر دو قسمت شکل ۲ نشان داده شده است مشتق مرتبه دوم انرژی حالت پایه نسبت به پارامتر واماندگی دقیقاً در نقطه واماندگی بحرانی ($\alpha = \alpha_c$) دارای پیک می‌باشد که مشخصه گذار فاز مرتبه دوم است.

در مرجع [۱۴] گاف یک‌گانه-سه‌گانه^۲ $G_{st}(N, \alpha)$ و گاف یک‌گانه-یک‌گانه^۳ $G_{ss}(N, \alpha)$ به صورت زیر تعریف شده‌اند:

$$G_{st}(N, \alpha) \equiv E_1^{(s)}(N, \alpha) - E_1^{(t)}(N, \alpha) \quad ۲$$

$$G_{ss}(N, \alpha) \equiv E_1^{(s)}(N, \alpha) - E_2^{(s)}(N, \alpha)$$

که در روابط بالا، $E_1^{(s)}(N, \alpha)$ و $E_1^{(t)}(N, \alpha)$ به ترتیب انرژی حالت پایه و انرژی اولین حالت برانگیخته در زیرفضای $S_z^{tot} = 0$ و $E_2^{(s)}(N, \alpha)$ انرژی حالت پایه در زیرفضای $S_z^{tot} = 1$ است. ما با توجه به روابط فوق و با استفاده از روش لنگشوز گاف سه‌گانه-یک‌گانه و گاف یک‌گانه-یک‌گانه را برای زنجیره اسپینی وامانده در غیاب دایمرشدگی ($\delta = 0$) به طول $(N = 24)$ محاسبه کردیم که در شکل ۳ نشان داده شده است. همان‌طور که ملاحظه می‌شود نقاط تقاطع $G_{st}(N, \alpha)$ و $G_{ss}(N, \alpha)$ تقریباً مستقل از اندازه سیستم N هستند. همچنین در بازه تساوی $(0 < \alpha < \alpha_c = 0.25)$ ، $G_{st}(N, \alpha) = G_{ss}(N, \alpha)$ برقرار است.

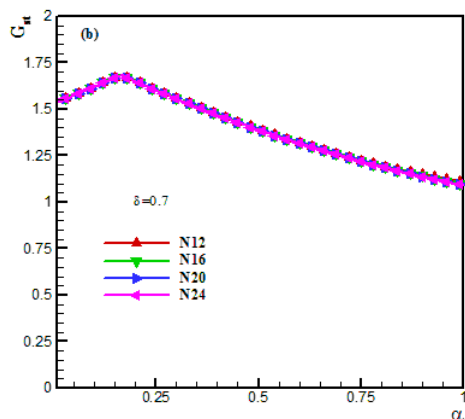
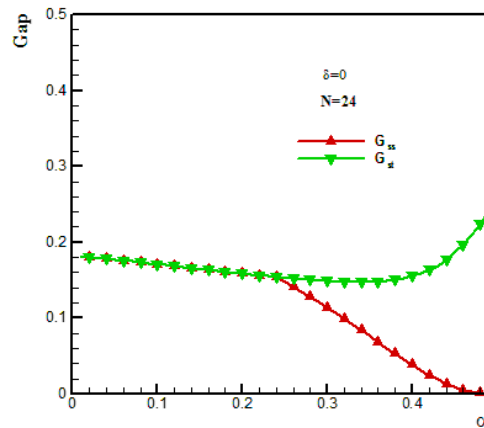
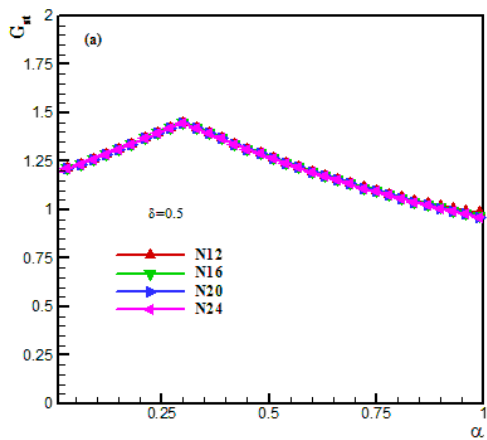


شکل ۲. گاف سه‌گانه سیستم برحسب تغییرات واماندگی برای زنجیره‌هایی به طول $N = 12, 16, 20, 24$ ، به‌ازای مقدار (a) به‌ازای مقدار دایمر $\delta = 0.5$ و (b) به‌ازای مقدار دایمر $\delta = 0.7$ (در داخل نمودار، مشتق مرتبه دوم انرژی حالت پایه نسبت به پارامتر واماندگی یعنی (d^2E/dJ^2) که در آن $(\alpha = J)$ می‌باشد رسم شده است).

همچنان که در نمودار مربوط به گاف انرژی دیده می‌شود در غیاب واماندگی، سیستم متناهی در زیر فضای $(S_z^{tot} = 1)$ دارای گاف سه‌گانه است. با افزایش پارامتر واماندگی، گاف سه‌گانه سیستم کاهش یافته و به‌ازای دایمر شدگی $\delta = 0.5$ در مقدار بحرانی واماندگی $\alpha = \alpha_c = 0.3$ ، و به‌ازای دایمرشدگی $\delta = 0.7$ در مقدار بحرانی واماندگی $\alpha = \alpha_c = 0.16$

^۲Singlet-Singlet Gap

^۳Singlet-Triplet Gap



شکل ۳. گاف یک‌گانه-سه‌گانه (G_{st}) (گرادیان‌های سبز) و گاف یک‌گانه-یک‌گانه (G_{ss}) (دلتاهای قرمز) برای زنجیره وامانده در غياب دایمرشدگی ($\delta=0$) به طول ($N=24$).

در مرجع [۱۴] اوکاموتو و نامورا^۴ با استفاده از داده‌های سیستم‌های اندازه متناهی، مقدار بحرانی $\alpha_c = 0.2411 \pm 0.001$ را برای واماندهی بحرانی به دست آوردند. همچنین نقطه تقاطع گاف یک‌گانه-سه‌گانه و گاف یک‌گانه-یک‌گانه را بین ۰٫۲۴ و ۰٫۲۵ گزارش دادند. اخیراً نیز تونگاوا و هارادا^۵ در مرجع [۱۶] بیان کرده‌اند که $\alpha_c = 0.25 \pm 0.01$ از تحلیل دوباره عددی سیستم‌های اندازه متناهی به‌وسیله گروه باز بهنجارش به دست می‌آید.

در شکل ۴ نتایج مربوط به گاف یک‌گانه-سه‌گانه (G_{st}) برحسب تغییرات واماندهی به‌ازای دایمرشدگی $\delta=0.5$ و $\delta=0.7$ نشان داده شده است. عدم وابستگی نتایج به اندازه سیستم، بیان‌گر این واقعیت است که طول همبستگی در سیستم فوق از مرتبه طول سیستم متناهی است.

شکل ۴. نمودار گاف یک‌گانه-سه‌گانه (G_{st}) برحسب تغییرات پارامتر واماندهی α برای زنجیره‌هایی به طول $N=12, 16, 20, 24$ ، قسمت (a) به‌ازای مقدار دایمر

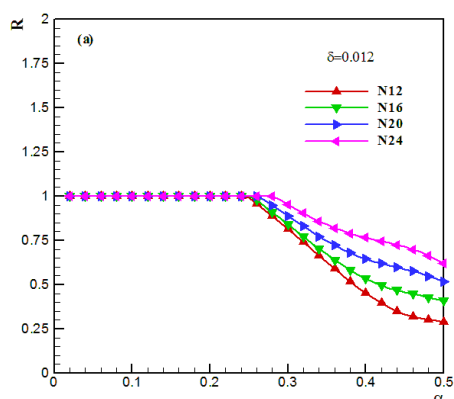
$\delta=0.5$ و قسمت (b) به‌ازای مقدار دایمر $\delta=0.7$

همان‌طور که در شکل ملاحظه می‌شود، مانند گاف سه‌گانه در شکل ۲ به‌ازای دایمرشدگی $\delta=0.5$ و $\delta=0.7$ نقطه بحرانی به‌ترتیب، $\alpha_c = 0.3$ و $\alpha_c = 0.16$ است. ما نسبت گاف یک‌گانه-یک‌گانه یعنی (G_{ss}) به گاف یک‌گانه-سه‌گانه (G_{st}) یعنی ($R = \frac{G_{ss}}{G_{st}}$) را برای زنجیره وامانده در غياب دایمر

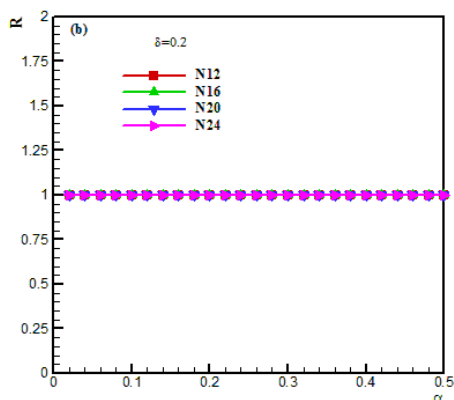
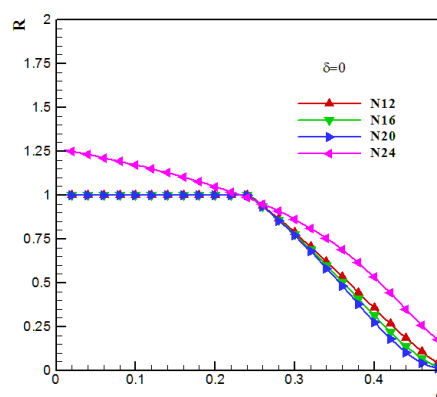
^۵Tonegawa and Harada

^۴Kiyomi Okamoto and Kiyohide Numora

وامانده به طول $N = 12, 16, 20, 24$ در حضور دایمرشدگی کوچک $\delta = 0.12$ و (b) در حضور دایمرشدگی $\delta = 0.2$ رسم شده است.



شدگی ($\delta = 0$) برحسب تغییرات پارامتر وامانده‌ی، محاسبه کردیم که نتایج مربوط به آن در شکل ۵ نشان داده شده است.



شکل ۵. نمودار نسبت گاف یک‌گانه-یک‌گانه به گاف یک‌گانه-سه‌گانه ($R = \frac{G_{ss}}{G_{st}}$) برای زنجیره وامانده به طول $N = 12, 16, 20, 24$ در غیاب دایمرشدگی ($\delta = 0$).

همان‌طور که در شکل دیده می‌شود، برای زنجیره‌های وامانده به طول $N = 12, 16, 20$ نسبت $R = \frac{G_{ss}}{G_{st}}$ به‌ازای $\alpha = 0$ تا مقدار بحرانی وامانده $\alpha_c = 0.25$ برابر یک است. با افزایش مقدار وامانده، R کاهش می‌یابد و سرانجام در نقطهٔ ماجومدار-گوش $R = 0$ ، $\alpha_{MG} = 0.5$ می‌شود. همچنین با زیاد شدن طول زنجیره $N = 24$ در غیاب وامانده ($\alpha = 0$)، $R = 1.25$ و در مقدار بحرانی وامانده ($\alpha_c = 0.25$) $R = 1$ است. این نتیجه نشان می‌دهد که احتمال دارد با افزایش طول زنجیره بتوان نتایج به‌دست آمده از قبل را تأیید کرد.

شکل ۶. نمودار نسبت گاف یک‌گانه-یک‌گانه به گاف یک‌گانه-سه‌گانه ($R = \frac{G_{ss}}{G_{st}}$) برای زنجیره‌های وامانده به طول $N = 12, 16, 20, 24$ به‌ازای مقدار دایمرشدگی کوچک $\delta = 0.12$ ، (b) به‌ازای مقدار دایمرشدگی $\delta = 0.2$

برای مقادیر کوچک دایمرشدگی مانند $\delta = 0.12$ که در قسمت (a) شکل نشان داده شده است به‌ازای مقادیر وامانده ($0 < \alpha < \alpha_c = 0.25$)، $R = 1$ است و با افزایش پارامتر وامانده، نسبت R کاهش یافته و

در شکل ۶ نمودار نسبت گاف یک‌گانه-یک‌گانه به گاف یک‌گانه-سه‌گانه ($R = \frac{G_{ss}}{G_{st}}$) برای زنجیره‌های

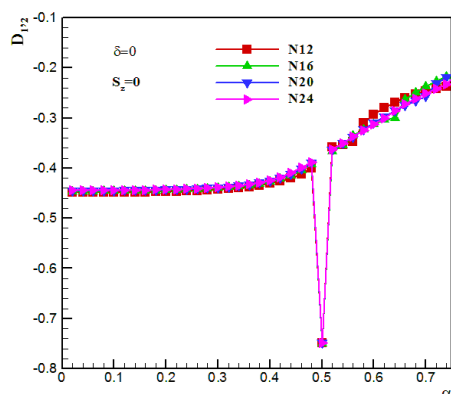
$$D = \frac{2}{N} \sum_{i=1}^{N/2} \langle S_{\tau i-1} \cdot S_{\tau i} \rangle \quad ۴$$

$$D = \frac{2}{N} \sum_{i=1}^{N/2} \langle S_{\tau i} \cdot S_{\tau i+1} \rangle \quad ۵$$

حالت پایه سیستم روی نقطه ماجومدار-گوش به صورت حاصل ضربی از $N/2$ حالت یک‌گانه است در این نقطه حالت پایه، تبهگنی دوگانه دارد. انتظار می‌رود که در این نقطه، پارامتر نظم دایمرشدگی به طور دقیق به مقدار (-0.75) برسد.

$$D|S\rangle = (\bar{S}_1 \cdot \bar{S}_2)|S\rangle = \frac{1}{4}(S^z - S^z - S^z)|S\rangle \\ = \frac{1}{4}\left[S(S+1) - \frac{3}{2}\right]|S\rangle = -\frac{3}{4}|S\rangle \quad ۶$$

در شکل ۷ به طور ویژه در زیرفضای $S_z^{tot} = 0$ ، پارامتر نظم دایمرشدگی روی باندهای فرد را در غیاب دایمرشدگی $\delta = 0$ رسم کرده‌ایم.



شکل ۷. پارامتر نظم دایمرشدگی روی سایت $(1,2)$ برحسب پارامتر واماندهی در زیرفضای $S_z^{tot} = 0$ برای زنجیره‌های اسپینی وامانده به طول $N = 12, 16, 20, 24$ ، در غیاب دایمرشدگی $\delta = 0$.

در $(\alpha = 0.5)$ به 0.25 می‌رسد. این آزمایش عددی برای دیگر مقادیر دایمرشدگی‌های کوچک $(\delta = 0.05, 0.1, 0.15)$ نیز تکرار شده و نتیجه یکسان بوده است. در قسمت (b) دیده می‌شود که به‌ازای دایمرشدگی $\delta = 0.2$ ، در تمامی مقادیر واماندهی، $R = 1$ است. این آزمایش نیز به‌ازای دایمرشدگی‌های $(\delta = 0.1, \dots, 0.5)$ تکرار شده و به‌ازای همه این مقادیر $R = 1$ به دست آمده است. البته این آزمایش برای زنجیره‌های محدود با طول $N = 12, 16, 20, 24$ انجام شده است و ممکن است در صورتی که بتوانیم زنجیره‌های بلندتری را بررسی کنیم نتیجه متفاوتی به دست آید.

پارامتر نظم دایمرشدگی

یکی از مهمترین توابع پاسخ که برای توصیف رفتار سیستم‌های وامانده پیشنهاد شده، تابع همبستگی اسپینی روی باندهاست که تحت عنوان "پارامتر نظم دایمرشدگی" شناخته می‌شود. در نظریه مدل‌های اسپینی، پارامتر نظم دایمرشدگی به صورت زیر تعریف می‌شود:

$$D_{i,j} = \langle S_i \cdot S_j \rangle = \langle GS | S_i \cdot S_j | GS \rangle \quad ۳$$

رابطه بالا میزان تشکیل حالت یک‌گانه، بین جفت ذرات با اسپین-۱/۲ را نشان می‌دهد. برای تشخیص نوع فازهای حالت پایه، ما پارامتر نظم دایمرشدگی سیستم را نیز با استفاده از روش عددی لنگسوز محاسبه کردیم. ابتدا پارامتر نظم دایمرشدگی را برای زنجیره وامانده در غیاب دایمرشدگی $(\delta = 0)$ بررسی می‌کنیم.

پارامتر نظم دایمر روی باندهای فرد با رابطه ۴ و روی باندهای زوج با رابطه ۵ تعریف می‌شود:

همان طور که در شکل ۸ دیده می‌شود در نقطهٔ ماجومدار-گوش ($\alpha_{MG} = 0.5$) دایمر شدگی بین دومین نزدیکترین همسایه‌ها دقیقاً صفر می‌شود. بنابراین نتایج به‌دست آمده از روش عددی لنگشوز برای دایمرشدگی توافق خوبی با نتایج تحلیلی دارد. همچنین در شکل ۷ و شکل ۸ دیده می‌شود که در ($\alpha < \alpha_{MG} = 0.5$) هیچ‌گونه تقاطعی بین خطوط وجود ندارد بنابراین اثرات وابسته به‌اندازه ذرات مشاهده نمی‌شود. اما در ($\alpha > \alpha_{MG}$) تقاطع‌هایی بین خطوط دیده می‌شود و وابستگی به اندازه ذرات محسوس است.

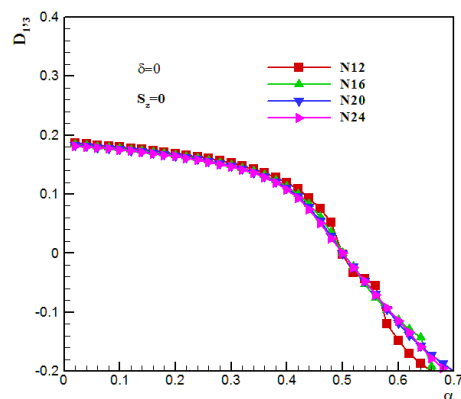
ما همچنین پارامتر نظم دایمر را برای زنجیره وامانده در حضور دایمرشدگی ($0 < \delta < 1$) در زیرفضاهای ($S_z^{tot} = 0, 1$) روی باندهای نزدیکترین همسایه و باندهای دومین نزدیکترین همسایه محاسبه کردیم. در قسمت *a* شکل ۹ پارامتر نظم دایمر برای باندهای فرد (سایت ۱ با ۲) و در قسمت *b* پارامتر نظم دایمر برای باندهای زوج (سایت ۲ با ۳) برحسب واماندهی α در زیر فضای ($S_z^{tot} = 0$) برای زنجیره‌های وامانده به‌طول $N = 12, 16, 20, 24$ به‌ازای دایمر $\delta = 0.3$ رسم شده است.

مطابق شکل ۷ همان‌طور که انتظار داشتیم این نمودار که از روش عددی به‌دست آوردیم با نتایج به‌دست آمده قبلی در توافق خوبی است. این دایمر مربوط به حالت یک‌گانه است. همان‌طور که انتظار داشتیم در زنجیره وامانده، پارامتر دایمرشدگی برای ($\alpha_{MG} = 0.5$) دارای مقدار (-0.75) است. نتایجی که از محاسبات عددی در مورد پارامتر نظم دایمرشدگی روی باندهای زوج به‌دست آمد کاملاً با نتایج به‌دست آمده برای دایمرشدگی روی باندهای فرد که در شکل ۷ نشان داده شده است یکسان است. همچنین دایمرشدگی روی دومین نزدیکترین همسایه‌ها نیز می‌تواند به‌صورت زیر نشان داده شود:

$$\psi_{\uparrow} \equiv [1, 3, \dots, [2, 4], \dots, [N-2, N]] \quad 7$$

$$D = \langle \psi_{GS} | S_{N-2} \cdot S_N | \psi_{GS} \rangle = 0 \quad 8$$

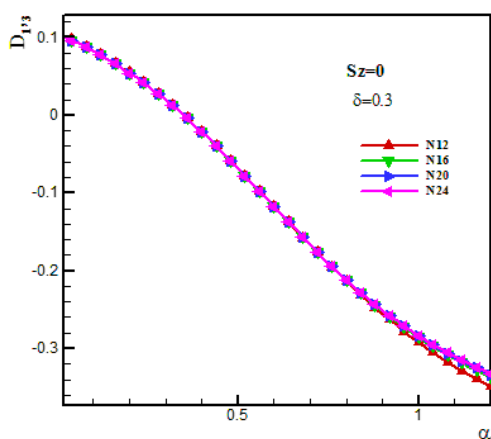
در شکل ۸ پارامتر نظم دایمرشدگی روی دومین نزدیکترین همسایه‌ها برحسب واماندهی برای زنجیره‌های وامانده به‌طول $N = 12, 16, 20, 24$ در غیاب دایمرشدگی ($\delta = 0$) محاسبه شده است.



شکل ۸. پارامتر نظم دایمر برای سایت (۱,۳) برحسب پارامتر واماندهی در زیر فضای $S_z^{tot} = 0$ برای زنجیره‌های اسپینی وامانده به‌طول $N = 12, 16, 20, 24$.

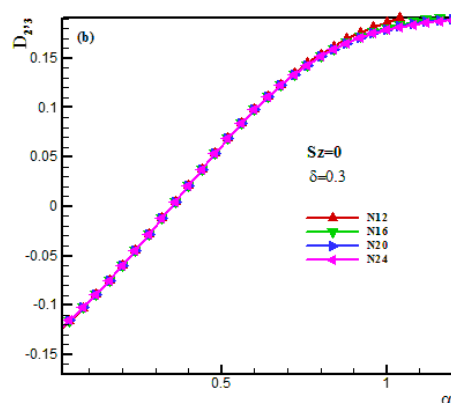
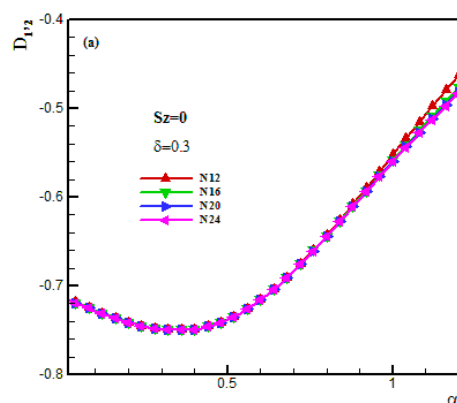
ذره‌ای فوق به $N/2$ جفت ذره مستقل که در حالت یک‌گانه اسپینی می‌باشند تبدیل می‌شود. با افزایش بیشتر پارامتر وامانده، دایمرشدگی در باندهای فرد افزایش می‌یابد.

در قسمت (b) شکل ۹ دیده می‌شود که دایمرشدگی مانند باندهای فرد در واماندهی بحرانی ($\alpha_c = 0.35$) به مقدار اشباع (-0.75) می‌رسد. در شکل ۱۰ پارامتر نظم دایمر روی باندهای دومین نزدیکترین همسایه (سایت ۱ با ۳) برحسب واماندهی در زیرفضای ($S_z^{tot} = 0$) برای زنجیره‌های وامانده به‌طول $N = 12, 16, 20, 24$ به‌ازای دایمرشدگی $\delta = 0.3$ رسم شده است.



شکل ۱۰. پارامتر نظم دایمر روی سایت ۱ با ۳ برحسب واماندهی در زیرفضای ($S_z^{tot} = 0$) برای زنجیره‌های وامانده به‌طول $N = 12, 16, 20, 24$ به‌ازای دایمرشدگی $\delta = 0.3$.

همان‌طور که در شکل دیده می‌شود دایمرشدگی بین دومین نزدیکترین همسایه‌ها دقیقاً در واماندهی $\alpha = 0.35$ برابر صفر است.



شکل ۹. قسمت (a) پارامتر نظم دایمر روی باندهای فرد (سایت ۱ با ۲)، قسمت (b) پارامتر نظم دایمر روی باندهای زوج، در زیرفضای ($S_z^{tot} = 0$) برای زنجیره‌های وامانده به‌طول $N = 12, 16, 20, 24$ به‌ازای مقدار دایمر $\delta = 0.3$.

در شکل ۹، پارامتر نظم دایمر روی باندهای فرد و روی باندهای زوج که به‌ترتیب با رابطه‌های ۴ و ۵ تعریف می‌شوند برحسب واماندهی رسم شده است. در قسمت a شکل ۹ برای دایمرشدگی روی باندهای فرد دیده می‌شود که به سبب افت و خیزهای کوانتومی در غیاب واماندهی کمیت فوق از مقدار اشباع خود $D = -0.75$ انحراف دارد. با افزایش واماندهی، مقدار D روی باندهای فرد کاهش یافته و در مقدار دقیقی که از رابطه $2\alpha + \delta = 1$ پیروی می‌کند به کمترین مقدار خود می‌رسد. در این مقدار واماندهی $\alpha = 0.35$ سیستم بس

نتیجه‌گیری

ما در این مقاله، حالت پایه زنجیره و امانده دایمر شده هایزنبرگ همسانگرد پادفرومغناطیس اسپین-۱/۲ کوانتومی را با استفاده از روش عددی لنگشوز مطالعه کردیم. ابتدا زنجیره هایزنبرگ و امانده را در نظر گرفتیم. حالت پایه این سیستم در نقطه ماجومدار-گوش ($\alpha_{MG} = 0.5$) یک گذار فاز از فاز سیال لاتینجر به فاز دایمر را نشان می‌دهد. همچنین نشان دادیم که در حضور دایمرشدگی گاف سیستم فوق، مجدداً باز می‌شود. با استفاده از روش لنگشوز، گاف انرژی را در دو زیرفضای $S_z^{tot} = 0$ و $S_z^{tot} = 1$ برای زنجیره‌های و امانده دایمر متناهی به طول $N = 12, 16, 20, 24$ محاسبه کردیم.

نتایج قطری سازی کامل نشان داد که حالت پایه سیستم متناهی در غیاب و اماندهی دارای گاف سه‌گانه است. با افزایش پارامتر و اماندهی α گاف سه‌گانه کاهش یافته و در مقدار و اماندهی بحرانی α_c صفر می‌شود. همچنین مشخص شد که و اماندهی بحرانی مستقل از اندازه سیستم است. با افزایش بیشتر پارامتر و اماندهی ($\alpha > \alpha_c(\delta)$) گاف سه‌گانه مجدداً باز شده و افزایش می‌یابد. ما همچنین نسبت گاف یک‌گانه-یک‌گانه به گاف یک‌گانه-سه‌گانه ($R = \frac{G_{ss}}{G_{st}}$) را برای مدل مورد

نظر با استفاده از روش عددی لنگشوز برای زنجیره‌های و امانده دایمر به طول محدود $N_{max} = 24$ محاسبه کردیم و مشخص شد که برای دایمرشدگی ناچیز ($\delta = 0.12$) تا نقطه بحرانی و اماندهی ($\alpha_c = 0.25$)، این نسبت برابر با یک است و با افزایش و اماندهی ($\alpha > \alpha_c$) مقدار آن کاهش می‌یابد.

برای مشخص کردن نوع فازهای حالت پایه سیستم، پارامتر نظم دایمر را ابتدا در غیاب دایمرشدگی

($\delta = 0$) و در زیرفضای ($S_z^{tot} = 0$) روی سایت‌های نزدیکترین همسایه و دومین نزدیکترین همسایه، برحسب پارامتر و اماندهی α برای زنجیره‌های اسپینی و امانده به طول‌های $N = 12, 16, 20, 24$ رسم کردیم و نشان دادیم که دایمر روی نقطه ماجومدار-گوش ($\alpha_{MG} = 0.5$) برای نزدیکترین همسایه‌ها به طور دقیق برابر (-0.75) است و برای دومین نزدیکترین همسایه‌ها برابر صفر است. بنابراین نشان دادیم که نتایج به دست آمده از روش عددی لنگشوز برای دایمرشدگی زنجیره و امانده پادفرومغناطیس همسانگرد اسپین-۱/۲ هایزنبرگ با نتایج تحلیلی به خوبی در توافق است. سپس با محاسبه بردار حالت پایه سیستم و امانده در حضور دایمرشدگی نشان داده شد که در غیاب و اماندهی ($\alpha = 0$) پارامتر نظم دایمر از مقدار اشباع خود ($D = -0.75$) انحراف دارد. این انحراف به دلیل وجود افت و خیزهای کوانتومی است. با افزایش و اماندهی، مقدار دایمرشدگی روی باندهای فرد کاهش یافته و در مقدار دقیقی که از رابطه ($2\alpha + \delta = 1$) پیروی می‌کند، به کمترین مقدار خود می‌رسد. در این مقدار و اماندهی بحرانی، سیستم بس‌ذره‌ای فوق به $N/2$ جفت ذره مستقل که در حالت یک‌گانه اسپینی هستند تبدیل می‌شود. با افزایش بیشتر پارامتر و اماندهی، دایمرشدگی در باندهای فرد افزایش می‌یابد.

مراجع

- [1] H.J. Mikeska, A.K. Kolezhuk. *Lecture Note in Physics* 645 (2004) 1-38.
- [2] D. Controzzi, C. DegliEspostiBoschi, F. OrtolaniandS. Pasini, *Physical Review B* 72 (2005) 172409.
- [3] M. Kumar, S. Ramasesha, D. Sen, Z.G. Soos, *Physical Review B* 75 (2007) 052404.

- [19] K. Okamoto, K. Nomura, *Physics Letters A* 169 (1993) 433.
- [20] G. Castilla, S. Chakravarty, V.J. Emery, *Physical Review Letters* 75 (1995) 1823.
- [21] T. Tonegawa, I. Harada, *Physical Society of Japan* 56 (1987) 2153.
- [22] R. Jullien, F.D.M. Haldane, *Bull. American. Physical. Society.* 28 (1983) 344.
- [23] I. Affleck, D. Gepner, H.J. Schulz, T. Ziman, *Journal of Physics A* 22 (1989) 511.
- [24] R. Bursill, G.A. Gehring, D.J.J. Farnell, J.B. Parkinson, T. Xiang, C. Zeng, *Physics Condens Matter* 7 (1995) 8605.
- [25] D.V. Dmitriev, V.Ya. Krivnov, *Physical Review B* 73 (2006) 024402.
- [26] C.K. Majumdar, D.K. Ghosh, *Journal of Physics C* 3 (1970) 911.
- [27] C.K. Majumdar, D.K. Ghosh, *Journal of Mathematical Physics* 10 (1969) 1339.
- [28] P.M. van den Broek, *Physics Letters A* 77 (1980) 261.
- [29] B.S. Shastry, B. Sutherland, *Physical Review Letters* 47 (1981) 964.
- [30] G. Bouzerar, A.P. Kampf, G.I. Japaridze, *physical Review B* 58 (1998) 3117.
- [4] S. Takayoshi and M. Oshikawa, *Physical Review B* 86 (2012) 144408.
- [5] J. Vahedi, S. Mahdavifar, M. R. Soltani, M. Elahi, *Physics Letters A* 392 (2013) 702.
- [6] V.M.L. Durga Prasad Goli, ShaonSahoo, R.Ra-masesha, DiptimanSen, *Physics Condense Matter* 25 (2013) 125603.
- [7] M. Isobe, Y. Ueda, *Physical Society of Japan* 65 (1996) 1178.
- [8] M. Weiden, R. Hauptmann, C. Geibel, F. Steglich, M. Fischer, P. Lemmens, and G. Guntherodt, *Z Physik B* 103 (1997) 1.
- [9] J.P. Boucher, L.P. Regnault, *Journal de Physique I* 6 (1996) 1939.
- [10] J.W. Bray, L.V. Interrante, I.S. Jacobs, J.C. Bonner, in *Extended Linear Chain Compounds*, J.S. Miller (Ed.), Plenum New York Vol 3 (1983) p 353.
- [11] A.W. Garrett, S.E. Nagler, T. Barnes, B.C. Sales, *Physical Review B* 55 (1997) 3631.
- [12] A.W. Garrett, S.E. Nagler, D.A. Tennant, B.C. Sales, T. Barnes, *Physical Review Letters* 79 (1997) 745.
- [13] A.V. Prokofiev, F. Büllersfeld, W. Assmus, H. Schwenk, D. Wichert, U. Low, B. Luthi, *European Physical Journal B* 5 (3) (1998) 313.
- [14] E. Dagotto, T.M. Rice, *Science* 271 (1996) 618.
- [15] T. Giamarchi, *Quantum Physics in One Dimension*, Oxford University Press, New York (2004).
- [16] R. Chitra, S. Pati, H.R. Krishnamurthy, D. Sen, S. Ramasesha, *Physical Review B* 52 (1995) 6581.
- [17] S.R. White, I. Affleck, *Physical Review B* 54 (1996) 9862.
- [18] F.D.M. Haldane, *Physical Review B* 25 (1982) 4925.